

Experiment4: 对比多种方法求解结果

杨乐园 PB18010496

问题描述

1. 针对下述偏微分方程初值问题:

$$\begin{cases} u_t = u_x, & -\infty < x < +\infty, t > 0 \\ u(x, 0) = \sin 2\pi x, & -\infty < x < +\infty \\ \text{Periodic boundary condition, } & T = 1 \end{cases}$$

该方程的精确解为 $u(x, t) = \sin(2\pi(x + t))$, 对时空区域均匀剖分, 其中 $x_j = j \cdot \Delta x, j = 0, 1, 2, \dots, J$, 空间步长 $\Delta x = \frac{1}{J}$, 令 $\lambda = \frac{\Delta t}{\Delta x}$ 。

问 1.1: 取 $\lambda = 0.5, J = 80$, 分别取终止时间 $T = 0.1, 0.4, 0.8, 1.0$ 。分别用 *FTCS*、*Lax - Friedrich* 和 *Lax - Wendroff* 方法计算其数值解, 绘制出最大误差随时间变化图, 并给出相应评论。

问 1.2: 取 $\lambda = 0.5, T = 1.0$, 分别取终止时间 $J = 10, 20, 40, 80, 160$ 。用 *Lax - Wendroff* 方法计算其数值解, 并与精确解画在同一张图上进行比较, 并给出相应评论。

2. 针对下述偏微分方程初值问题:

$$\begin{cases} u_t = u_x, & -\infty < x < +\infty, t > 0 \\ u(x, 0) = \sin 2\pi x, & -\infty < x < +\infty \\ \text{Periodic boundary condition, } & T = 1 \end{cases}$$

该方程的精确解为 $u(x, t) = \sin(2\pi(x + t))$, 对时空区域均匀剖分, 其中 $x_j = j \cdot \Delta x, j = 0, 1, 2, \dots, J$, 空间步长 $\Delta x = \frac{1}{J}$, 令 $\lambda = \frac{\Delta t}{\Delta x}$ 。

问 2.1: 取 $T = 1.0, J = 80$, 分别取 $\lambda = 0.5, 1.5$ 。用 *CTCS* 格式 (v_j^1 用 *FTFS* 格式) 计算其数值解, 并与精确解画在同一张图上进行比较, 并给出相应评论。

问 2.2: 取 $\lambda = 0.5, T = 1.0$, 分别取 $\lambda = 0.5, 1.5$ 。用 *CTCS* 格式 (v_j^1 用 *FTFS* 格式) 计算其数值解, 并与精确解画在同一张图上进行比较, 并给出相应评论。

问 2.3: 取 $\lambda = 0.5, J = 80$, 分别取 $T = 0.2, 0.5$ 。用 *FTBS* 格式计算其数值解, 并与精确解画在同一张图上进行比较, 并给出相应评论。

数值方法

记 $v_j^n \approx u(x_j, t_n)$, 根据不同格式的导数近似以及偏微分方程得到相应的格式:

1. *FTCS*: $v_j^{n+1} = v_j^n + \frac{\Delta t}{2\Delta x}(v_{j+1}^n - v_{j-1}^n)$

2. *Lax - Friedrich*: $v_j^{n+1} = (\frac{\Delta t}{2\Delta x} + \frac{1}{2})v_{j+1}^n + (-\frac{\Delta t}{2\Delta x} + \frac{1}{2})v_{j-1}^n$

3. *Lax - Wendroff*: $v_j^{n+1} = (\frac{\Delta t}{2\Delta x} + \frac{\Delta t^2}{2\Delta x^2})v_{j+1}^n + (1 - \frac{\Delta t^2}{\Delta x^2})v_j^n + (-\frac{\Delta t}{2\Delta x} + \frac{\Delta t^2}{2\Delta x^2})v_{j-1}^n$

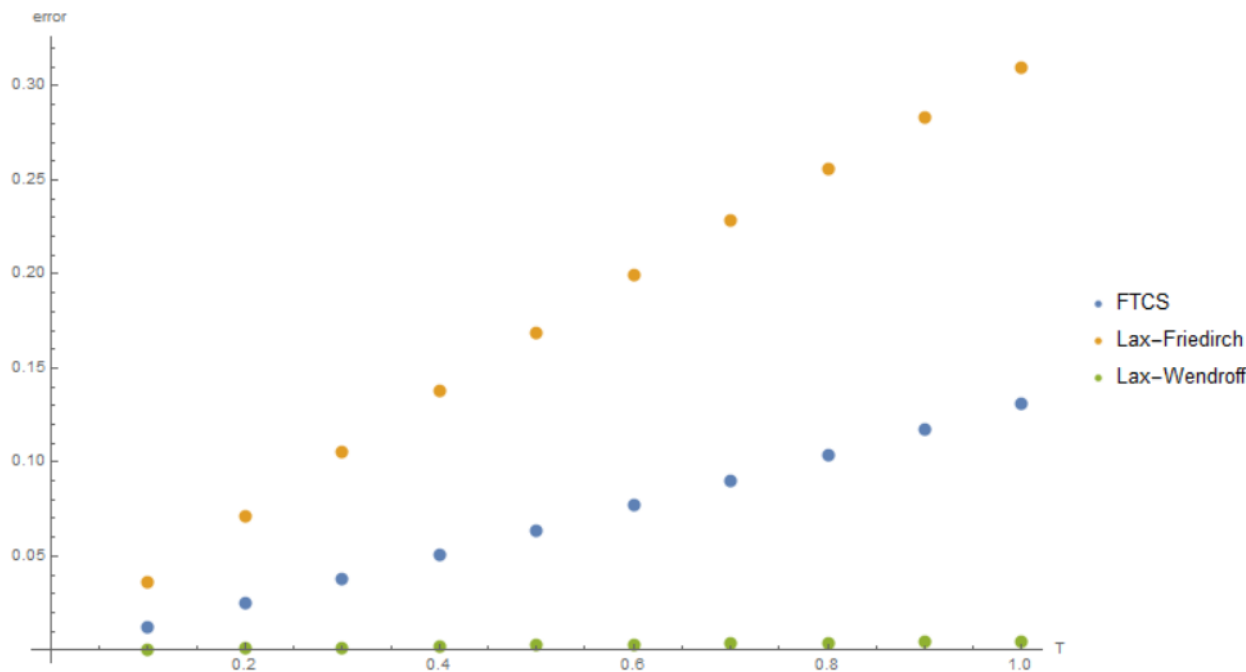
4. *CTCS*: $v_j^{n+1} = v_j^{n-1} + \frac{\Delta t}{\Delta x}(v_{j+1}^n - v_{j-1}^n)$

5. *FTBS*: $v_j^{n+1} = v_j^n + \frac{\Delta t}{\Delta x}(v_j^n - v_{j-1}^n)$

其中定解条件为: 初始条件: $v_j^0 = \sin 2\pi x_j$, 边界条件: $v_j^n = v_{j+J}^n$ 。

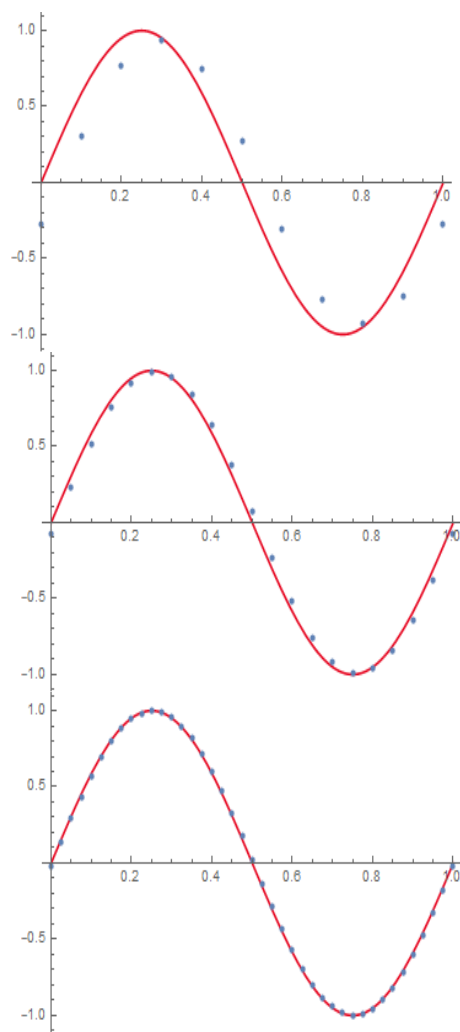
数值结果

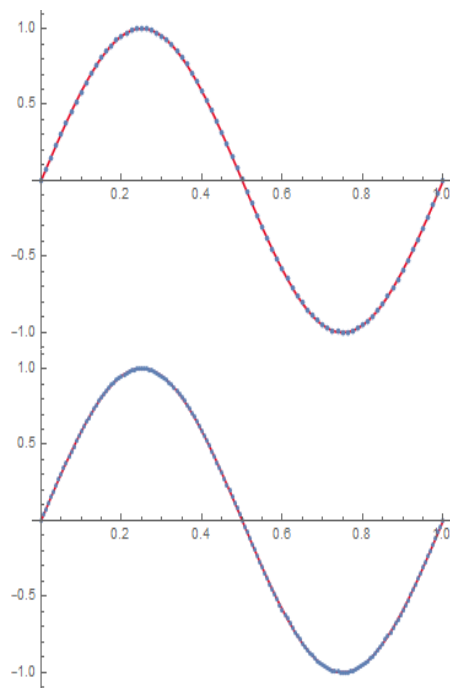
1. 问 1.1: $\lambda = 0.5, J = 80$, 并且 $T = 0.1, 0.4, 0.8, 1.0$ 。



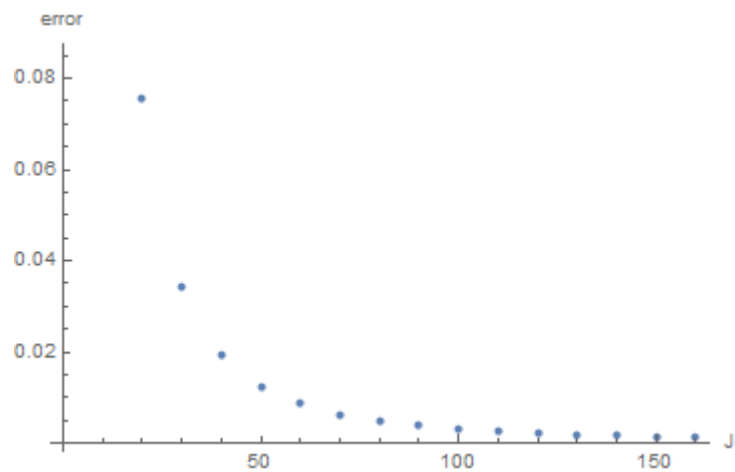
通过观察误差随终止时间的增长，我们可以看到，误差逐渐增大；三种方法中， $Lax - Wendroff$ 的误差结果最小，其逼近效果更好一些。

2. 问 1.2: $\lambda = 0.5, T = 1.0$, 并且 $J = 10, 20, 40, 80, 160$, 格式为 $Lax - Wendroff$ 。





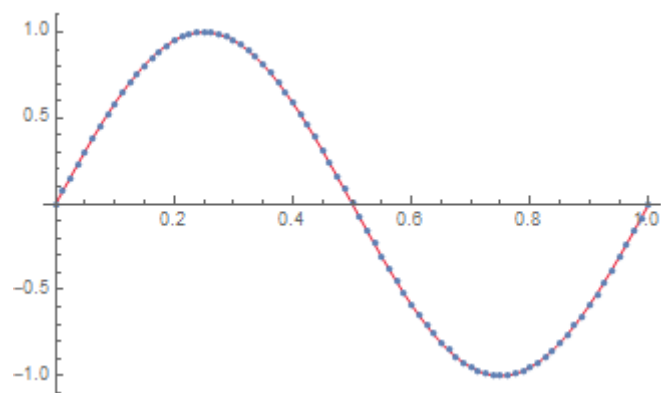
注:从上到下、从左到右分别为 $J = 10, 20, 40, 80, 160$ 的数值解与真解对比, 红色为真解。



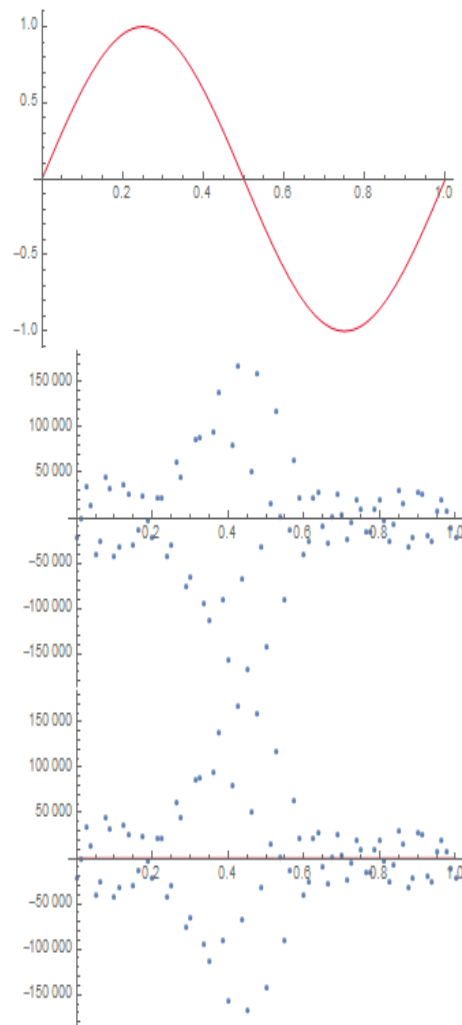
通过观察不同 J 时数值解与真解对比图, 以及相应模最大误差随 J 变化图像, 明显可以看出, 模最大误差随空间离散程度 J 的增大而猪价减小。

3. 问 2.1:

$T = 1.0, J = 80, \lambda = 0.5$, 格式为CTCS。



$T = 1.0, J = 80, \lambda = 1.5$, 格式为CTCS。

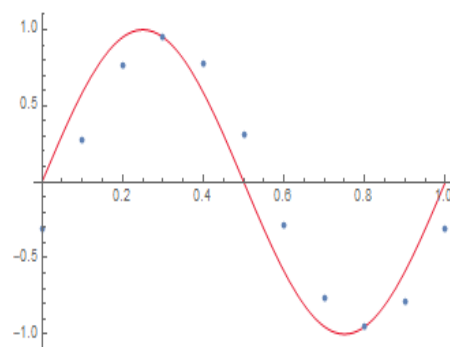


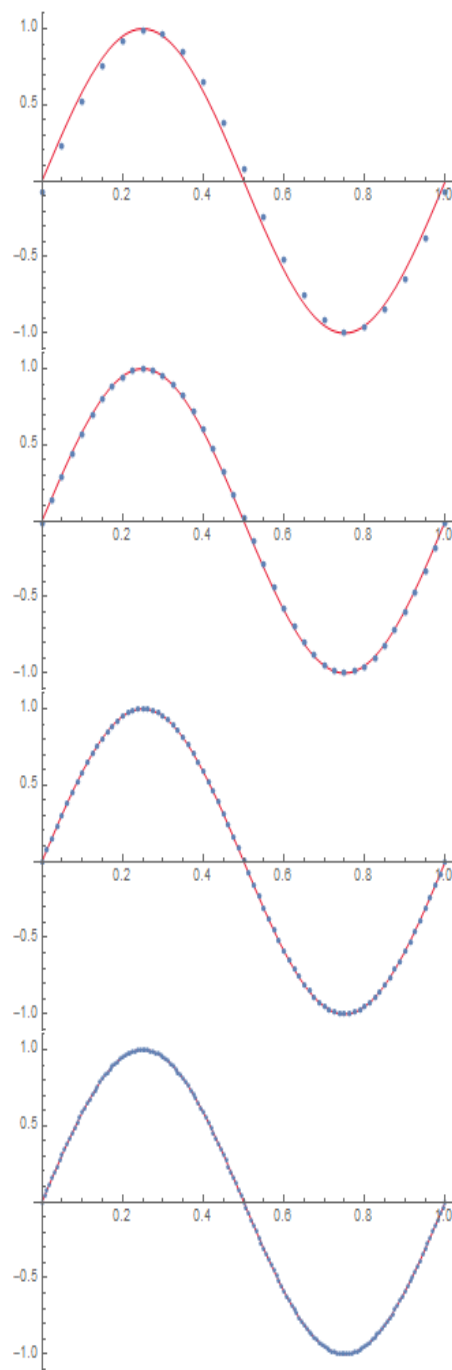
输出如下：

```
问题2.1
T=1.0, J=80, lamuda=0.5:
模最大误差为: 0.00484657
T=1.0, J=80, lamuda=1.5:
模最大误差为: 167957
```

通过对比不同 λ 值时数值解与真解图像以及相应误差输出，可以看到， $\lambda = 0.5$ 时数值逼近结果仍可以接受，误差较小；但 $\lambda = 1.5$ 时则直接不稳定，误差爆炸！

4. 问 2.2: $T = 1.0, \lambda = 0.5$ ，分别取 $J = 10, 20, 40, 80, 160$ ，格式为CTCS。





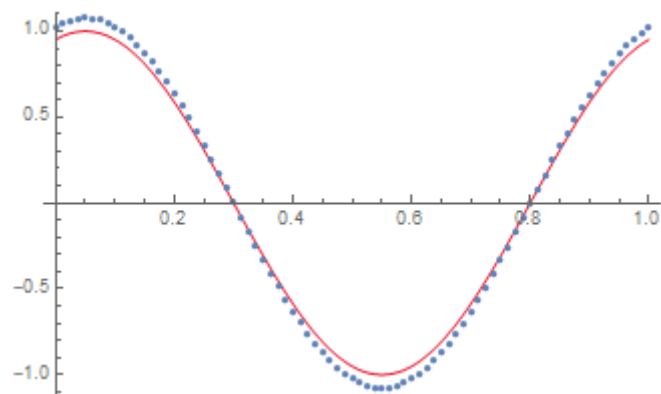
误差输出结果：

```
问题2.2
T=1.0, J=80, lamuda=0.5:
J=10, 模最大误差为: 0.310785
J=20, 模最大误差为: 0.0778901
J=40, 模最大误差为: 0.0194072
J=80, 模最大误差为: 0.00484657
J=160, 模最大误差为: 0.0012113
```

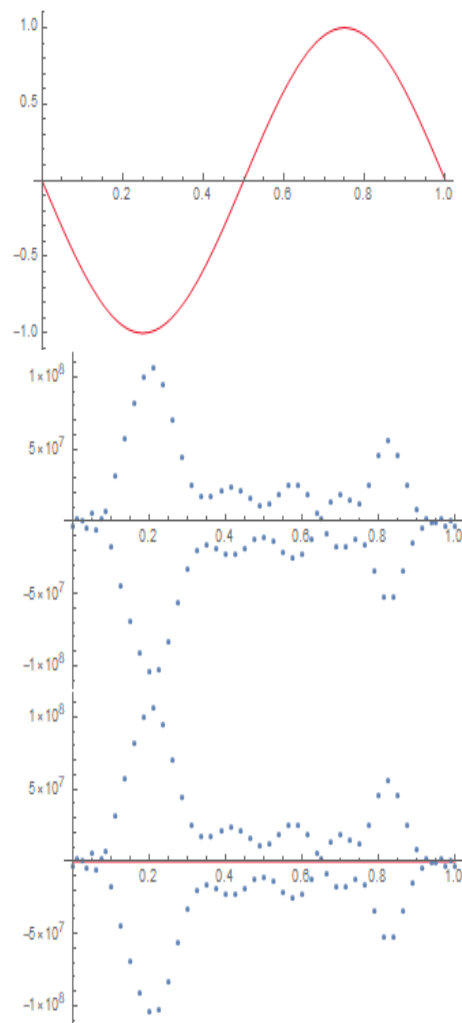
通过观察不同 J 时数值解与真解对比图，以及相应模最大误差随 J 变化图像，明显可以看出，模最大误差随空间离散程度 J 的增大而猪价减小。

5. 问 2.3:

$\lambda = 0.5, J = 80, T = 0.2$, 格式为FTBS。



$\lambda = 0.5, J = 80, T = 0.5$, 格式为FTBS。



误差输出结果如下：

```
问题2.3
lamuda=0.5, J=80, T=0.2, FTBS结果:
模最大误差为: 0.0766887
lamuda=0.5, J=80, T=0.5, FTBS结果:
模最大误差为: 1.0564e+08
```

通过对比不同 T 值时数值解与真解图像以及相应误差输出，可以看到， $T = 0.2$ 时数值逼近结果仍可以接受，误差较小；但 $T = 0.5$ 时则直接不稳定，误差爆炸！可见FTBS格式对于该方程不稳定，其不满足CFL条件。

代码

其中数值求解代码与绘图代码详见附件！